

АСИМПТОТИЧЕСКИЕ МЕТОДЫ  
В НЕСТАЦИОНАРНЫХ ДИНАМИЧЕСКИХ  
КОНТАКТНЫХ ЗАДАЧАХ  
ДЛЯ УПРУГОГО ПОЛУПРОСТРАНСТВА

УДК 539.3

Е. В. Коваленко<sup>1</sup>, В. Б. Зеленцов<sup>2</sup>

<sup>1</sup>Институт проблем механики РАН, 117526 Москва

<sup>2</sup>НИИ механики и прикладной математики  
Ростовского государственного университета, 344104 Ростов-на-Дону

Рассматриваются следующие динамические контактные задачи теории упругости: 1) задача об антиплюском сдвиге штампом упругого полупространства, 2) плоская задача о вдавливании штампа в упругую полуплоскость. При этом считается, что в момент времени  $t = 0$  к штампу прикладывается усилие, изменяющееся достаточно произвольным образом во времени.

Для решения этих неустановившихся динамических задач применяются преобразования Лапласа — Карсона по времени и Фурье по пространственной координате. В результате задачи относительно трансформированных по Лапласу — Карсону контактных напряжений сводятся к интегральным уравнениям Фредгольма первого рода типа свертки на конечном интервале, ядра которых зависят от безразмерного параметра  $\lambda \in (0, \infty)$ , связанного со временем.

Для решения этих уравнений используются методы [1, 2]. Для больших и малых значений  $\lambda$ , что отвечает большим и малым временам взаимодействия штампа с полупространством, получены простые аналитические решения в нескольких формах, каждая из которых эффективна в своей области изменения параметра  $\lambda$ ; причем, как показали численные расчеты, эти области перекрывают в совокупности весь возможный диапазон изменения  $\lambda$ . Для окончательного решения задач в полученных формулах совершается переход от трансформант Лапласа — Карсона неизвестных функций к их оригиналам.

1. Пусть изотропное упругое полупространство находится в условиях чистого сдвига под действием бесконечной недеформируемой полосы ширины  $2a$ , нагруженной вдоль своей образующей сдвигающей силой  $T(t) = T_0 f(t)$  ( $f(t)$  — ограниченная функция с конечным числом линий разрыва при  $t \geq 0$ ), отнесенной к единице длины. Между поверхностями полосы и полупространства предполагается полное сцепление. Постановку задачи связем с ортогональной системой координат  $Oxyz$ . Плоскость  $y = 0$  совпадает с поверхностью контакта полосы и полупространства, которое занимает область  $y \leq 0$ . Ось  $z$  направлена вдоль образующей полосы.

Задача сводится к решению дифференциального уравнения

$$\Delta w = \frac{1}{c_2^2} \frac{\partial^2 w}{\partial t^2} \quad \left( c_2^2 = \frac{G}{\rho}, \quad \Delta = \frac{\partial^2}{\partial x^2} + \frac{\partial^2}{\partial y^2} \right), \quad (1.1)$$

получающегося из уравнений Ламе при отсутствии массовых сил, при граничных условиях

$$y = 0 : \quad w = \gamma f(t) \quad (|x| \leq a), \quad \tau_{yz} = 0 \quad (|x| > a) \quad (1.2)$$

и начальных условиях

$$t = 0 : \quad w = 0, \quad \partial w / \partial t = 0. \quad (1.3)$$

Здесь  $w(x, y, t)$  — проекция вектора перемещений на ось  $z$ ;  $\rho$ ,  $G$  — плотность и модуль сдвига материала упругого полупространства;  $\tau_{yz}$  — тангенциальная компонента тензора напряжений;  $\gamma f(t)$  — функция, характеризующая перемещение полосы как жесткого целого.

Смешанную краевую задачу (1.1)–(1.3) будем решать при помощи интегральных преобразований [3]. Применяя к ней преобразование Лапласа — Карсона по времени

$$w^L = p \int_0^\infty w(x, y, t) e^{-pt} dt, \quad w = \frac{1}{2\pi i} \int_L w^L(x, y, p) \frac{e^{pt}}{p} dp, \quad (1.4)$$

получим граничную задачу для функции  $w^L(x, y, p)$ :

$$\Delta w^L = p^2 c_2^{-2} w^L, \quad y = 0 : \quad w^L = \gamma f^L(p) \quad (|x| \leq a), \quad \tau_{yz}^L = 0 \quad (|x| > a). \quad (1.5)$$

Используя далее для решения (1.5) интегральное преобразование Фурье по  $x$  [1], запишем интегральное уравнение относительно трансформированных по Лапласу — Карсону контактных касательных напряжений  $\tau^L(x, p)$ . В безразмерных переменных  $x = x'a$ ,  $\xi = \xi'a$  и с учетом обозначений  $\gamma = \gamma'a$ ,  $\lambda = c_2(ap)^{-1}$ ,  $\varphi^L(x', p) = \tau^L(x, p)G^{-1}$  (штрих ниже опустим) оно примет вид

$$\int_{-1}^1 \varphi^L(\xi, p) k\left(\frac{\xi - x}{\lambda}\right) d\xi = \pi g(x) f^L(p) \quad (|x| \leq 1); \quad (1.6)$$

$$k(s) = \int_0^\infty K(u) \cos(us) du = K_0(s), \quad K(u) = \frac{1}{\sqrt{1+u^2}}, \quad g(x) \equiv \gamma \quad (1.7)$$

( $K_0(s)$  — функция Макдональда).

Рассмотрим вторую контактную задачу о вдавливании без трения силой  $P(t) = P_0 f(t)$  жесткого штампа ширины  $2a$  в упругую полуплоскость  $|x| < \infty$ ,  $y \leq 0$ , т. е. требуется найти решение системы уравнений Ламе, записанной для удобства в терминах волновых функций  $\varphi(x, y, t)$  и  $\psi(x, y, t)$ :

$$\frac{\partial}{\partial x} \left( c_1^2 \Delta \varphi - \frac{\partial^2 \varphi}{\partial t^2} \right) + \frac{\partial}{\partial y} \left( c_2^2 \Delta \psi - \frac{\partial^2 \psi}{\partial t^2} \right) = 0, \quad (1.8)$$

$$\frac{\partial}{\partial y} \left( c_1^2 \Delta \varphi - \frac{\partial^2 \varphi}{\partial t^2} \right) - \frac{\partial}{\partial x} \left( c_2^2 \Delta \psi - \frac{\partial^2 \psi}{\partial t^2} \right) = 0, \quad c_1^2 = 2G(1-\nu)[\rho(1-2\nu)]^{-1}$$

со следующими краевыми и начальными условиями:

$$y = 0 : \quad 2 \frac{\partial^2 \varphi}{\partial x \partial y} + \frac{\partial^2 \psi}{\partial x^2} - \frac{\partial^2 \psi}{\partial y^2} = 0 \quad (|x| < \infty),$$

$$\frac{1}{b^2} \frac{\partial^2 \varphi}{\partial y^2} + \left( \frac{1}{b^2} - 2 \right) \frac{\partial^2 \varphi}{\partial x^2} + 2 \frac{\partial^2 \psi}{\partial x \partial y} = 0 \quad \left( b = \frac{c_2}{c_1}, \quad |x| > a \right),$$

$$\frac{\partial \varphi}{\partial y} - \frac{\partial \psi}{\partial x} = -[\gamma - r(x)]f(t) \quad (|x| \leq a);$$

$$t = 0 : \quad \varphi = \psi = 0, \quad \frac{\partial \varphi}{\partial t} = \frac{\partial \psi}{\partial t} = 0. \quad (1.10)$$

В (1.8), (1.9)  $\nu$  — коэффициент Пуассона материала упругой полуплоскости;  $\gamma f(t)$  — жесткое перемещение штампа под действием силы  $P(t)$ ;  $r(x)$  — функция, описывающая форму

его основания. Здесь ограничимся случаем, когда сила  $P(t)$  приложена в центре штампа коллинеарно оси  $y$ .

Последовательно применяя к (1.8)–(1.10) интегральные преобразования Лапласа — Карсона по времени и Фурье по координате  $x$ , сведем, как и ранее, решение смешанной краевой задачи к эквивалентному ей интегральному уравнению, записанному в образах Лапласа — Карсона. Это уравнение в безразмерных переменных, введенных выше, примет вид (1.6), причем ядро его представимо в форме (1.7), где

$$K(u) = \frac{2(1 - b^2)\sqrt{u^2 + b^2}}{(2u^2 + 1)^2 - 4u^2\sqrt{u^2 + b^2}\sqrt{u^2 + 1}} \quad (b^2 < 1). \quad (1.11)$$

В (1.6)  $\varphi^L(x', p) = q^L(x, p)[2G(1 - b^2)]^{-1}$ ;  $g(x') = a^{-1}[\gamma - r(x)]$ ;  $q^L(x, p)$  — трансформанта Лапласа — Карсона контактных давлений (штрихи у безразмерных переменных опущены).

2. Прежде чем приступить к решению интегрального уравнения (1.6), исследуем свойства его ядра. Заметим вначале, что функция  $K(\zeta)$  (символ ядра) вещественная, четная, положительная на всей действительной оси и многозначная в комплексной плоскости  $\zeta = u + iv$ , причем в первой из рассматриваемых задач она имеет одну пару точек ветвлений  $\zeta = \pm i$ , а во второй — две пары точек ветвлений ( $\zeta = \pm i$ ,  $\zeta = \pm bi$ ) и два полюса ( $\zeta = \pm Ri$  ( $R > 1$ )), расположенных на мнимой оси. Для устранения многозначности функции  $K(\zeta)$  в комплексной плоскости проведем разрезы: для первой задачи — от точки  $+i$  до точки  $-i$  через бесконечно удаленную точку, для второй — два разреза, соединяющих точки ветвлений  $bi$  с  $i$  и  $-bi$  с  $-i$ .

Асимптотические свойства функции  $K(\zeta)$  таковы:

$$K(u) = A + O(u^2) \quad (u \rightarrow 0), \quad uK(u) = 1 + \sum_{n=1}^N e_{2n}u^{-2n} + O(u^{-2N-2}) \quad (u \rightarrow \infty) \quad (2.1)$$

( $A = 1$  для задачи 1,  $A = 2b(1 - b^2)$  для задачи 2).

Из соотношений (2.1) следует, что асимптотика ядра  $k(s)$  при малых значениях  $s$  имеет вид [2]

$$k(s) = \ln |s|l_1(s) + l_2(s), \quad l_j(s) = \sum_{i=0}^N d_{ji}s^{2i} + O(s^{2N+2}) \quad (j = 1, 2), \quad (2.2)$$

где несколько первых коэффициентов  $d_{ji}$  даются формулами

$$\begin{aligned} d_{10} &= -1, \quad d_{11} = \frac{e_2}{2}, \quad d_{12} = -\frac{e_4}{24}, \quad d_{20} = \int_0^\infty \left[ K(u) - \frac{1 - e^{-u}}{u} \right] du, \\ d_{21} &= -\frac{3}{4}e_2 + \frac{1}{2} \int_0^\infty [u^2 - u^3 K(u) + e_2(1 - e^{-u})] \frac{du}{u}, \\ d_{22} &= \frac{25}{288}e_4 - \frac{1}{24} \int_0^\infty [u^4 \left(1 - \frac{e_2}{u^2}\right) - u^5 K(u) + e_4(1 - e^{-u})] \frac{du}{u}. \end{aligned}$$

Решение интегрального уравнения (1.6) при больших  $\lambda$  будем искать в форме [2]

$$\varphi^L(x, p) = \sum_{n=0}^N \sum_{m=0}^n \varphi_{2n,m}^L(x, p) \lambda^{-2n} (\ln \lambda)^m + O(\lambda^{-2N-2} \ln^{N+1} \lambda). \quad (2.3)$$

Подставляя (2.2), (2.3) в (1.6), приравнивая выражения при одинаковых степенях  $\lambda^{-2}$

и  $\ln \lambda$ , а также беря обратное преобразование Лапласа — Карсона от  $\varphi^L(x, p)$ , с точностью до членов порядка  $O(\lambda^{-4} \ln \lambda)$  получим

$$\begin{aligned} \varphi(x, t) = & \varphi_{00}(x, t) + \frac{1}{\Lambda^2} \frac{\partial^2}{\partial t^2} \varphi_{20}(x, t) + \frac{1}{\Lambda^2} \frac{\partial}{\partial t} \int_0^t \frac{\varphi_{21}(x, \tau)}{(\tau - t)^2} d\tau - \\ & - \frac{C}{\Lambda^2} \frac{\partial^2}{\partial t^2} \varphi_{21}(x, t) - \frac{\ln \Lambda}{\Lambda^2} \frac{\partial^2}{\partial t^2} \varphi_{21}(x, t) \quad (\Lambda = \lambda p), \end{aligned} \quad (2.4)$$

$$p^2(\ln p + C) = \frac{1}{t^2}, \quad p = \frac{\partial}{\partial t}, \quad f^L(p)g^L(p) = \frac{d}{dt} \int_{-0}^{t+0} g(\tau)f(t-\tau) d\tau;$$

$$\varphi_{00}(x, t) = \frac{1}{\pi \sqrt{1-x^2}} \left[ N_0(t) - f(t) \int_{-1}^1 \frac{\sqrt{1-\xi^2}}{\xi - x} g'(\xi) d\xi \right],$$

$$\begin{aligned} \varphi_{20}(x, t) = & \frac{1}{\pi^2 \sqrt{1-x^2}} \int_{-1}^1 \frac{\sqrt{1-\xi^2}}{\xi - x} d\xi \int_{-1}^1 (\xi - \tau) \times \\ & \times (2d_{11} \ln |\xi - \tau| + 2d_{21} + d_{11}) \varphi_{00}(\tau, t) (1 - \tau^2)^{-1/2} d\tau, \end{aligned} \quad (2.5)$$

$$\varphi_{21}(x, t) = - \frac{2d_{11}}{\pi^2 \sqrt{1-x^2}} \int_{-1}^1 \frac{\sqrt{1-\xi^2}}{\xi - x} d\xi \int_{-1}^1 \varphi_{00}(\tau) (\xi - \tau) d\tau;$$

$$N_0(t) = \int_{-1}^1 \varphi(x, t) dx \quad (2.6)$$

( $C$  — постоянная Эйлера). При этом интегралы и производные в (2.4) следует понимать в обобщенном смысле [3].

Отметим следующий факт. Пусть, например, штамп имеет плоское основание ( $g(x) \equiv g = \text{const}$ ), а  $f(t) \equiv H(t)$  ( $H(t)$  — ступенчатая функция Хевисайда [3]). Механически это означает, что штамп мгновенно переместился на величину  $g$  под действием силы  $N_0(t)$  и удерживается ею в этом положении. Тогда при больших значениях  $t$  формулы (2.4), (2.5) примут вид

$$\varphi(x, t) = \frac{N_0}{\pi \sqrt{1-x^2}} \quad (2.7)$$

( $N_0 = T_0/(aG)$  для задачи 1,  $N_0 = P_0/[2aG(1-b^2)]$  для задачи 2), т. е. достаточно быстро вырождаются в решение соответствующей статической задачи. Как известно [4], в такой задаче невозможно найти связь между усилием  $N_0$  и жестким перемещением штампа  $g$  из условия (2.6).

Построим решение интегрального уравнения (1.6) при малых значениях параметра  $\lambda$  (малое время). Для этого воспользуемся асимптотическим методом «малых»  $\lambda$  [1, 2]. Нулевой член асимптотики решения уравнения (1.6) при  $\lambda \rightarrow 0$  представим как

$$\varphi^L(x, p) = \varphi_*^L\left(\frac{1+x}{\lambda}, p\right) + \varphi_*^L\left(\frac{1-x}{\lambda}, p\right) - v^L\left(\frac{x}{\lambda}, p\right), \quad (2.8)$$

где  $\varphi_*^L(y, p)$ ,  $v^L(y, p)$  — решения интегральных уравнений вида

$$\int_0^\infty \varphi_*^L(\tau, p) k(\tau - y) d\tau = \pi g \lambda^{-1} f^L(p) \quad (0 \leq y < \infty); \quad (2.9)$$

$$\int_{-\infty}^\infty v^L(\tau, p) k(\tau - y) d\tau = \pi g \lambda^{-1} f^L(p) \quad (|y| < \infty). \quad (2.10)$$

Здесь использована четность функции  $K(u)$  ( $|u| < \infty$ ), а также теорема 24.4 из [1], в соответствии с которой достаточно исследовать только уравнение (1.6) с правой частью  $g(x) \equiv g = \text{const}$ .

Решение уравнения (2.9) можно найти методом Винера — Хопфа [1], если применять факторизацию функции  $K(\alpha) = K_+(\alpha)K_-(\alpha)$ :

$$\varphi_*^L(y, p) = -\frac{gf^L(p)}{\lambda K_+(0)} \frac{1}{2\pi i} \int_{-\infty+ic}^{\infty+ic} \frac{e^{-i\alpha y}}{K(\alpha)\alpha} d\alpha \quad (c > 0). \quad (2.11)$$

Решение интегрального уравнения (2.10) получается при помощи интегрального преобразования Фурье и использования теоремы о свертке [1]:

$$v^L(y, p) = gf^L(p)[\lambda K(0)]^{-1}. \quad (2.12)$$

Применяя обратное преобразование Лапласа — Карсона к (2.8) с учетом того, что  $\lambda = \Lambda p^{-1}$ , запишем решения поставленных задач при  $\lambda \rightarrow 0$  в форме

$$\varphi(x, t) = \varphi_*\left(\frac{1+x}{\Lambda}, t\right) + \varphi_*\left(\frac{1-x}{\Lambda}, t\right) - v\left(\frac{x}{\Lambda}, t\right). \quad (2.13)$$

Полагая в (2.11), (2.12)  $K(\alpha) = (1 + \alpha^2)^{-1/2}$ , имеем

$$\begin{aligned} \varphi_*^L\left(\frac{1 \pm x}{\lambda}, p\right) &= \frac{gf^L(p)}{\lambda} \left\{ \frac{\exp[-\lambda^{-1}(1 \pm x)]}{\sqrt{\pi \lambda^{-1}(1 \pm x)}} - \operatorname{erfc} \sqrt{\frac{1 \pm x}{\lambda}} + 1 \right\}, \\ v^L\left(\frac{x}{\lambda}, p\right) &= \frac{gf^L(p)}{\lambda}, \end{aligned} \quad (2.14)$$

откуда в соответствии с (2.13) найдем решение задачи о чистом сдвиге штампом упругого полупространства:

$$\frac{\Lambda \varphi(x, t)}{g} = \begin{cases} f'(t) & (0 < t\Lambda < \sigma_-(x)), \\ f'(t) + \frac{1}{\pi \sqrt{\sigma_-(x)}} \frac{\partial}{\partial t} \int_{\sigma_-(x)\Lambda^{-1}}^t f(t-\tau) \frac{\theta_-(\tau, x)}{\tau} d\tau & (\sigma_-(x) < t\Lambda < \sigma_+(x)), \\ f'(t) + \frac{1}{\pi \sqrt{\sigma_-(x)}} \frac{\partial}{\partial t} \int_{\sigma_-(x)\Lambda^{-1}}^t f(t-\tau) \frac{\theta_-(\tau, x)}{\tau} d\tau + \\ + \frac{1}{\pi \sqrt{\sigma_+(x)}} \frac{\partial}{\partial t} \int_{\sigma_+(x)\Lambda^{-1}}^t f(t-\tau) \frac{\theta_+(\tau, x)}{\tau} d\tau & (t\Lambda > \sigma_+(x)), \end{cases} \quad (2.15)$$

$$\sigma_\pm(x) = 1 \pm |x|, \quad \theta_\pm(x, \tau) = \sqrt{\tau\Lambda - \sigma_\pm(x)}.$$

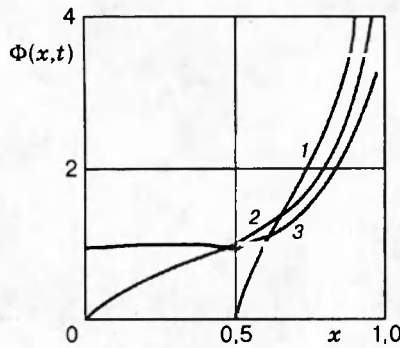


Рис. 1

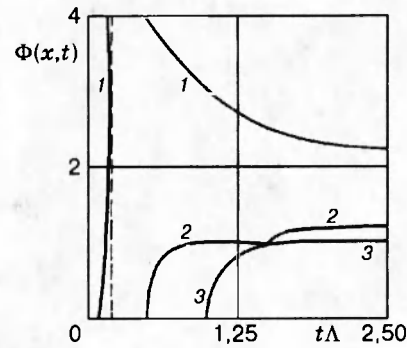


Рис. 2

При переходе от трансформант Лапласа — Карсона в соотношениях (2.13), (2.14) к оригиналам были использованы следующие формулы [5]:

$$p \operatorname{erfc}(\sqrt{\alpha p}) = \begin{cases} 0 & (t < \alpha), \\ \frac{1}{\pi t} \sqrt{\frac{\alpha}{t - \alpha}} & (t > \alpha, \alpha > 0), \end{cases} \quad \sqrt{p} e^{-\alpha p} = \begin{cases} 0 & (t < \alpha), \\ \frac{1}{\sqrt{\pi(t - \alpha)}} & (t > \alpha). \end{cases}$$

Если же закон движения штампа, как и выше, задан при помощи функции Хевисайда, то решение (2.15) упростится и примет вид

$$\frac{\Lambda \varphi(x, t)}{g} = \begin{cases} \delta(t) & (0 < t\Lambda < \sigma_-(x)), \\ \delta(t) + \frac{\theta_-(t, x)}{\pi t \sqrt{\sigma_-(x)}} & (\sigma_-(x) < t\Lambda < \sigma_+(x)), \\ \delta(t) + \frac{\theta_-(t, x)}{\pi t \sqrt{\sigma_-(x)}} + \frac{\theta_+(x, t)}{\pi t \sqrt{\sigma_+(x)}} & (t\Lambda > \sigma_+(x)), \end{cases} \quad (2.16)$$

где  $\delta(t)$  — дельта-функция Дирака.

Получив выражения (2.15), (2.16), можно провести анализ контактных касательных напряжений в первой задаче. Из равенств (2.15) видно, что пока до точки «наблюдения» под штампом не дошла волна контактных напряжений, напряжение в ней пропорционально скорости движения штампа  $f'(t)$ . Волна контактных касательных напряжений, приходящая в точку «наблюдения» от ближайшего из краев штампа, имеет на фронте нулевое напряжение и распространяется со скоростью поперечной волны в данной среде. Кроме того, через определенный промежуток времени в эту точку приходит волна контактных напряжений от другого края штампа. В частности, из соотношений (2.16), соответствующих случаю  $f(t) \equiv H(t)$ , следует, что контактные касательные напряжения в каждой точке под штампом пропорциональны  $\delta(t)$ , а при  $t > 0$  до прихода поперечной волны от ближайшего края штампа равны нулю.

Для иллюстрации на рис. 1 представлены графики распределения контактных касательных напряжений  $\Phi(x, t) = \Lambda g^{-1} \varphi(x, t)$  в моменты приведенного времени  $t\Lambda = 0,5; 1,0; 1,5$  (кривые 1–3). Кроме этого, на рис. 2 изображено изменение величины  $\Phi(x, t)$  в зависимости от  $t\Lambda$  в точках  $x = 0; 0,5; 0,9$  (кривые 1–3).

Важной характеристикой решений контактных задач является сила (2.6), действующая на штамп. Для нахождения ее воспользуемся тем, что при малых  $\lambda$  нулевой член асимптотики решения интегрального уравнения (1.6) может быть представлен в мульти-

пликативной форме [1]

$$\varphi^L(x, p) = \varphi_*^L\left(\frac{1+x}{\lambda}, p\right) \varphi_*^L\left(\frac{1-x}{\lambda}, p\right) \left[v^L\left(\frac{x}{\lambda}, p\right)\right]^{-1}, \quad (2.17)$$

где функции  $\varphi_*^L(y, p)$  и  $v^L(y, p)$  удовлетворяют уравнениям (2.9), (2.10). Определим вначале величину

$$N_0^L(p) = \int_{-1}^1 \varphi^L(x, p) dx. \quad (2.18)$$

Внося (2.11), (2.12) и (2.17) в равенство (2.18) и производя необходимые преобразования [1], имеем

$$N_0^L(p) = g f^L(p) \frac{K_-(0)}{K_+(0)} \frac{1}{2\pi i} \int_{c-i\infty}^{c+i\infty} \frac{e^{2\alpha/\lambda}}{\alpha^2 K_r^2(i\alpha)} d\alpha. \quad (2.19)$$

Если предположить, что  $K(\alpha) = (1 + \alpha^2)^{-1/2}$ , то из формулы (2.19) получим

$$N_0^L(p) = g f^L(p) (2\lambda^{-1} + 1). \quad (2.20)$$

Применяя в (2.20) обратное преобразование Лапласа — Карсона, с учетом последнего соотношения (2.4) найдем

$$N_0(t)g^{-1} = 2\Lambda^{-1}f'(t) + f(t). \quad (2.21)$$

Если же в равенстве (2.21)  $f(t) \equiv H(t)$ , то  $N_0(t)g^{-1} = 2\Lambda^{-1}\delta(t) + H(t)$ .

3. Построим решение второй задачи при малом времени. Следует иметь в виду, что в этом случае, как было отмечено выше, символ ядра (1.11) интегрального уравнения (1.6) более сложного вида по сравнению с таковым для первой задачи. Кроме того, он содержит уже четыре точки ветвления в комплексной плоскости, что существенно усложняет факторизацию  $K(\zeta)$ . Тем не менее функция  $K(\zeta)$  ( $\zeta = u + iv$ ) является положительной и не имеет особых точек типа полюсов и точек ветвления на действительной оси.

Принимая во внимание это обстоятельство, а также асимптотические свойства (2.1) и используя метод приближенной факторизации Койтера [6], аппроксимируем символ ядра  $K(\zeta)$  (1.11) выражением\*

$$K(\zeta) \approx \sqrt{\zeta^2 + h_1^2} (\zeta^2 + h_2^2)^{-1}, \quad h_1 = b, \quad h_1 h_2^{-2} = 2b(1 - b^2). \quad (3.1)$$

Можно предложить и более простую по сравнению с (3.1) аппроксимацию функции  $K(\zeta)$ :

$$K(\zeta) \approx (\zeta^2 + h_1^2)^{-1/2}, \quad h_1 = b. \quad (3.2)$$

Аппроксимация вида (3.2) выбирается из следующих соображений: во-первых, точка ветвления функции (3.2) совпадает с первой точкой ветвления символа ядра  $K(\zeta)$  вида (1.11), и можно говорить об аппроксимации  $K(\zeta)$  в области  $|v| < h_1 < 1, |u| < \infty$  плоскости комплексного переменного  $\zeta = u + iv$ , что дает возможность получить решение задачи, правильное с физической точки зрения, так как скорость распространения продольной волны контактных давлений под штампом совпадает с  $c_1$  [8]; во-вторых, погрешность такой аппроксимации не превосходит 6 % вдоль действительной оси.

\*Приближение символа ядра  $K(\zeta)$  вида (1.11), учитывающее его поведение на всей комплексной плоскости  $\zeta = u + iv$ , дано в [7].

Внося  $K(\zeta)$  в форме (3.2) в соотношения (2.11) и (2.19), придем к равенствам (2.15), (2.21), в которых необходимо заменить параметр  $\Lambda$  выражением  $\Lambda = c_1 a^{-1}$ . Таким образом, характер контактных напряжений здесь тот же, что и в первой задаче, и поэтому может быть проиллюстрирован при помощи рис. 1, 2.

В заключение отметим, что примерно в такой же постановке решалась задача о полубесконечном штампе в [8], причем факторизация функции  $K(\zeta)$  (1.11) бралась в форме интегралов Коши. Качественно результаты [8] совпадают с результатами настоящей работы.

Кроме того,стыковка решений поставленных задач при малых и больших значениях времени, как показали численные расчеты, происходит в районе  $t = 2\Lambda^{-1}$ .

Обратим внимание на следующее обстоятельство. Решение интегрального уравнения (1.6), (1.7) может быть построено методом ортогональных функций, если воспользоваться спектральным соотношением [9]

$$-\int_{-1}^1 \frac{\text{ce}_n(\arccos \xi, -\alpha)}{\sqrt{1-\xi^2}} K_0\left(\frac{\xi-x}{\lambda}\right) d\xi = \pi \frac{\text{Fek}_n(0, -\alpha)}{\text{Fek}'_n(0, -\alpha)} \text{ce}_n(\arccos x, -\alpha)$$

( $|x| < 1$ ,  $\alpha = 1/(4\pi^2)$ ) и свойством ортогональности периодических функций Матье. Опуская промежуточные выкладки, имеем

$$\varphi^L(x, p) = \frac{2g f^L(p)}{\sqrt{1-x^2}} \sum_{n=0}^{\infty} (-1)^{n+1} A_0^{(2n)} \frac{\text{Fek}'_{2n}(0, -\alpha)}{\text{Fek}_{2n}(0, -\alpha)} \text{ce}_{2n}(\arccos x, -\alpha). \quad (3.3)$$

Теперь для получения решения основной нестационарной задачи о чистом сдвиге упругого полупространства необходимо совершить в формуле (3.3) обратное преобразование Лапласа — Карсона согласно (1.4). Принимая в расчет последнее соотношение (2.4), запишем

$$\varphi(x, t) = \frac{g}{\sqrt{1-x^2}} \frac{\partial}{\partial t} \int_0^t f(t-\tau) h(x, \tau) d\tau, \quad (3.4)$$

$$h(x, t) = 2 \sum_{n=0}^{\infty} (-1)^{n+1} A_0^{(2n)} \frac{\text{Fek}'_{2n}(0, -\alpha)}{\text{Fek}_{2n}(0, -\alpha)} \text{ce}_{2n}(\arccos x, -\alpha).$$

Численное обращение преобразования Лапласа — Карсона во второй формуле (3.4) выполняется, например, при помощи метода Папулиса [10]. После этого можно определить силу  $N_0(t)$  согласно (2.6) и первой формуле (3.4).

Работа выполнена при финансовой поддержке Российского фонда фундаментальных исследований (код проекта 94-01-00181-а).

## ЛИТЕРАТУРА

1. Ворович И. И., Александров В. М., Бабешко В. А. Неклассические смешанные задачи теории упругости. М.: Наука, 1974.
2. Александров В. М., Коваленко Е. В. Задачи механики сплошных сред со смешанными граничными условиями. М.: Наука, 1986.
3. Слепян Л. И., Яковлев Ю. С. Интегральные преобразования в нестационарных задачах механики. Л.: Судостроение, 1980.
4. Мусхелишвили Н. И. Некоторые основные задачи математической теории упругости. М.: Наука, 1966.

5. Диткин В. А., Прудников А. П. Справочник по операционному исчислению. М.: Высш. шк., 1965.
6. Нобл Б. Применение метода Винера — Хопфа для решения дифференциальных уравнений в частных производных. М.: Изд-во иностр. лит., 1962.
7. Боеv С. И., Сумбатян M. A. Динамическая контактная задача для упругой полуплоскости при высоких частотах колебаний // ПММ. 1985. Т. 49, вып. 6. С. 1039–1043.
8. Флитман Л. М. Динамическая задача о штампе на упругой полуплоскости // ПММ. 1959. Т. 23, вып. 4. С. 697–705.
9. Александров В. М., Коваленко Е. В. Метод ортогональных функций в смешанных задачах механики сплошных сред // Прикл. механика. 1977. Т. 13, № 12. С. 9–17.
10. Papulis A. A new of inversion method of the Laplace transforms // Quart. Appl. Math. 1957. V. 14, N 4. P. 405–414.

*Поступила в редакцию 21/IX 1995 г.*

---